

«Статистический анализ ошибок при численном решении систем квазилинейных уравнений»

Фидельман Дмитрий Андреевич, гр. 522

Санкт-Петербургский государственный университет
Математико-механический факультет
Кафедра статистического моделирования

Научный руководитель: к.ф.-м.н., доцент Христинич В.Б.

Рецензент: д.ф.-м.н., профессор Ермаков С.М.

Санкт-Петербург
2011г.

Цели работы:

- Статистический анализ ошибок при численном решении систем линейных и квазилинейных уравнений в зависимости от параметров устойчивости на примере решения уравнений акустики.
- Исследование поведения статистических характеристик решения в зависимости от возмущения начальных условий по заданному вероятностному закону.
- Решение граничной задачи для уравнений акустики в случае упругого отражения акустической волны.

Уравнения газовой динамики:

$$\begin{cases} \frac{\partial \rho}{\partial t} + u \frac{\partial \rho}{\partial x} + \rho \frac{\partial u}{\partial x} = 0, \\ \frac{\partial u}{\partial t} + u \frac{\partial u}{\partial x} + 1/\rho \frac{\partial P}{\partial x} = 0, \\ \frac{\partial P}{\partial t} + u \frac{\partial P}{\partial x} + \rho a^2 \frac{\partial u}{\partial x} = 0, \end{cases} \quad (1)$$

В матричном виде:

$$I \frac{\partial \mathbf{U}}{\partial t} + \mathbf{A} \frac{\partial \mathbf{U}}{\partial x} = 0, \quad (2)$$

где

$$\mathbf{U} = \begin{pmatrix} \rho \\ u \\ P \end{pmatrix}, \quad \mathbf{A} = \begin{pmatrix} u & \rho & 0 \\ 0 & u & 1/\rho \\ 0 & \rho a^2 & u \end{pmatrix}.$$

Характеристическая форма уравнений (1):

$$\mathbf{L}^k \left(\frac{\partial \mathbf{U}}{\partial t} + \lambda_k \frac{\partial \mathbf{U}}{\partial x} \right) = 0, \quad (3)$$

где λ_k — собственные числа матрицы \mathbf{A} , \mathbf{L}^k — её левые собственные вектора.

Пусть $p = p_0 + p'$ — давление в среде, $a = a_0 + a'$ — скорость звука в ней, $\rho = \rho_0 + \rho'$ — её плотность, $u = u_0 + u'$ — скорость возмущения, где ρ_0, p_0, a_0 и u_0 — характеристики среды, константы, ρ', p', a' и u' — значения малых возмущений. Уравнения акустики:

$$\begin{cases} \frac{\partial u}{\partial t} + \frac{1}{\rho_0} \frac{\partial p}{\partial x} = 0, \\ \frac{\partial p}{\partial t} + \rho_0 a_0^2 \frac{\partial u}{\partial x} = 0. \end{cases} \quad (4)$$

В матричном виде:

$$I \frac{\partial \mathbf{U}}{\partial t} + \mathbf{A} \frac{\partial \mathbf{U}}{\partial x} = 0, \text{ где } \mathbf{U} = \begin{pmatrix} u \\ p \end{pmatrix}, \mathbf{A} = \begin{pmatrix} 0 & 1/\rho \\ \rho a^2 & 0 \end{pmatrix}. \quad (5)$$

Уравнения характеристик и соотношение на характеристиках

$$\frac{dx}{dt} = \pm a_0, \quad \pm \rho_0 a_0 du + dp = 0. \quad (6)$$

Из уравнений акустики следуют два волновых уравнения второго порядка для возмущения давления p и скорости возмущения среды u :

$$\frac{\partial^2 p}{\partial t^2} - a_0^2 \frac{\partial^2 p}{\partial x^2} = 0, \quad \frac{\partial^2 u}{\partial t^2} - a_0^2 \frac{\partial^2 u}{\partial x^2} = 0. \quad (7)$$

Двухшаговая схема Лакса-Вендроффа

Для решения системы уравнений акустики используется двухшаговая схема Лакса-Вендроффа.

Уравнения акустики в векторном виде:

$$\frac{\partial}{\partial t} \mathbf{A} + \frac{\partial}{\partial x} \mathbf{B} = 0, \quad \mathbf{A} = \begin{pmatrix} u \\ p \end{pmatrix}, \quad \mathbf{B} = \begin{pmatrix} \frac{1}{\rho_0} p \\ \rho_0 a_0^2 u \end{pmatrix}. \quad (8)$$

Двухшаговая схема Лакса-Вендроффа:

$$\text{Шаг 1. } 2\mathbf{A}_{i+\frac{1}{2}}^{n+\frac{1}{2}} = \mathbf{A}_{i+1}^n + \mathbf{A}_i^n - \nu(\mathbf{B}_{i+1}^n - \mathbf{B}_i^n), \quad (9)$$

$$\text{Шаг 2. } \mathbf{A}_{i+1}^n = \mathbf{A}_i^n - \nu(\mathbf{B}_{i+\frac{1}{2}}^{n+\frac{1}{2}} - \mathbf{B}_{i-\frac{1}{2}}^{n+\frac{1}{2}}), \text{ где } \nu = \frac{\Delta t}{\Delta x}. \quad (10)$$

Квазилинейный случай уравнений акустики:

$$\begin{cases} \frac{\partial u}{\partial t} + \frac{1}{\rho_0} \frac{\partial p}{\partial x} = 0, \\ \frac{\partial p}{\partial t} + \rho_0 a^2(p) \frac{\partial u}{\partial x} = 0, \end{cases} \quad (11)$$

где $a^2(p) \approx a_0^2 + 2a_0 a' \approx \frac{\gamma(p_0 + p)}{\rho_0}$.

Оценка моментов погрешности решения

Оценка моментов для значений решения $u_i = u(x_i)$ в узлах x_i :

- поиск выборочных моментов

$$a_j = \frac{1}{n} \sum_{i=1}^n u_i^j, \quad (12)$$

- определение центральных моментов

$$m_1 = a_1, \quad m_2 = a_2 - a_1^2, \quad m_3 = a_3 - 3a_2a_1 + 2a_1^3, \quad m_4 = a_4 - 4a_3a_1 + 6a_2a_1^2 - 3a_1^4, \quad (13)$$

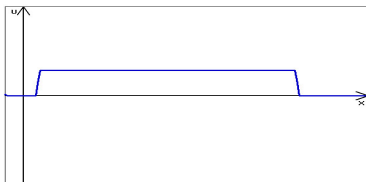
- вычисление несмещённых оценок моментов

$$\hat{m}_2 = \frac{n}{n-1} m_2, \quad \hat{m}_3 = \frac{n^2}{(n-1)(n-2)} m_3, \quad \hat{m}_4 = \frac{n(n^2 - 2n + 3)m_4 - 3n(2n-3)m_2^2}{(n-1)(n-2)(n-3)}. \quad (14)$$

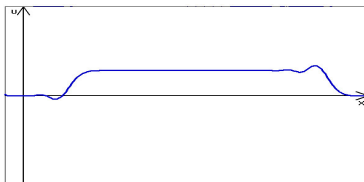
- получение оценок характеристик решения и эмпирической плотности распределения

$$\bar{x} = \hat{m}_1, \quad s^2 = \hat{m}_2, \quad A = \frac{\hat{m}_3}{\hat{m}_2^{\frac{3}{2}}}, \quad K = \frac{\hat{m}_4}{\hat{m}_2^2} - 3, \quad F_{N\Delta x}(x) = \frac{1}{N\Delta x} \sum_{l=1}^N I_{[x_l, x_l + \Delta x)}(u_l). \quad (15)$$

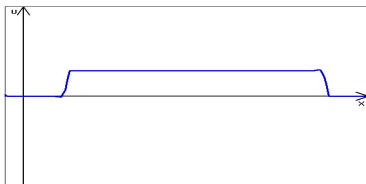
Изменения формы возмущения скорости в зависимости от времени, линейный случай



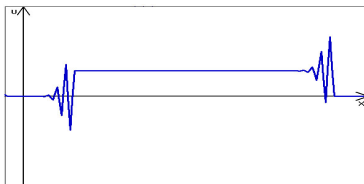
(a) Исходное возмущение, $n = 0$



(b) $n = 40$, $\nu = 0.5$



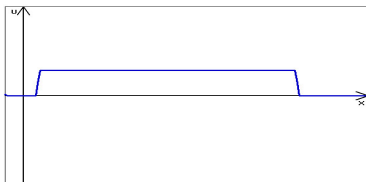
(c) $n = 200$, $\nu = 0.999$



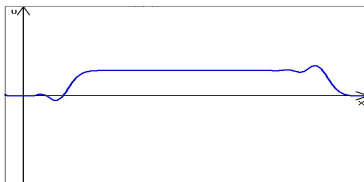
(d) $n = 20$, $\nu = 1.03$

Рис.: Изменения формы возмущения при различных значениях коэффициента ν в моменты времени n для линейной задачи.

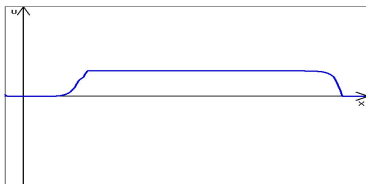
Изменения формы возмущения скорости в зависимости от времени, квазилинейный случай



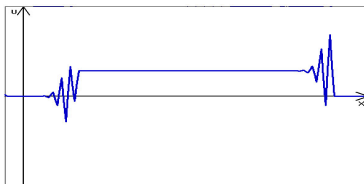
(a) Исходное возмущение, $n = 0$



(b) $n = 40$, $\nu = 0.5$



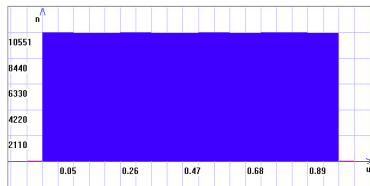
(c) $n = 200$, $\nu = 0.999$



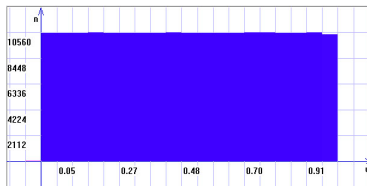
(d) $n = 20$, $\nu = 1.03$

Рис.: Изменения формы возмущения при различных значениях коэффициента ν в моменты времени n для квазилинейной задачи.

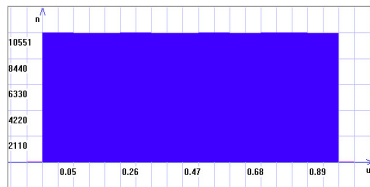
Гистограммы результатов статистических испытаний в линейном случае



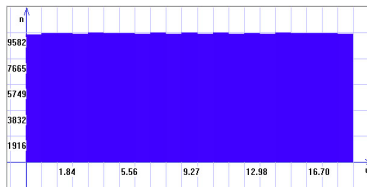
(a) $\nu = 0$



(b) $\nu = 0.5$



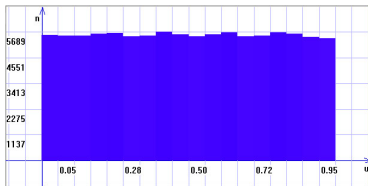
(c) $\nu = 0.999$



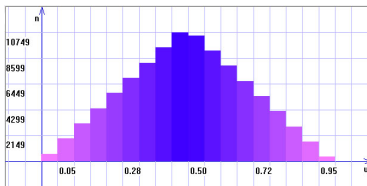
(d) $\nu = 1.03$

Рис.: Гистограммы возмущения решения в случае равномерно распределённых на $[0,1]$ начальных условий, линейный случай.

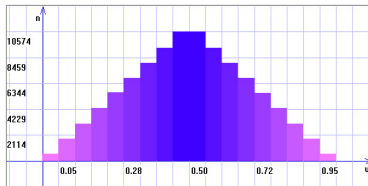
Гистограммы результатов статистических испытаний, квазилинейный случай



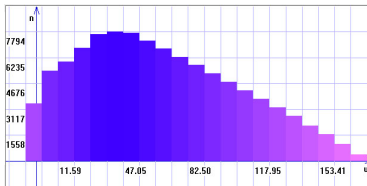
(a) $\nu = 0$



(b) $\nu = 0.5$



(c) $\nu = 0.999$

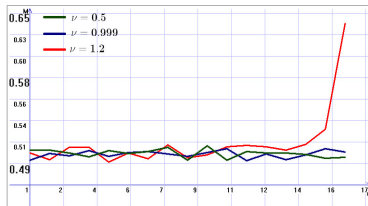


(d) $\nu = 1.03$

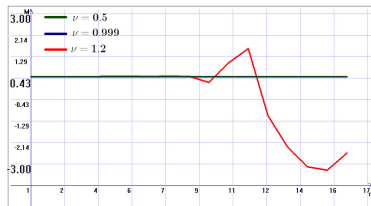
Рис.: Гистограммы возмущения решения в случае равномерно распределённых на $[0,1]$ начальных условий, квазилинейный случай.

Графики зависимости среднего и дисперсии от времени.

Среднее, $n = 17$, $N = 10000$:

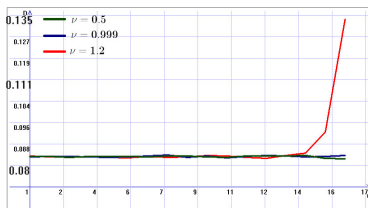


(а) линейная задача

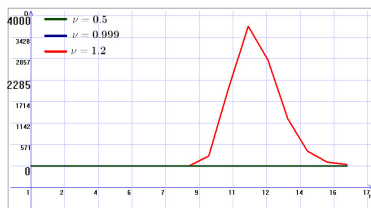


(б) нелинейная задача

Дисперсия, $n = 17$, $N = 10000$:



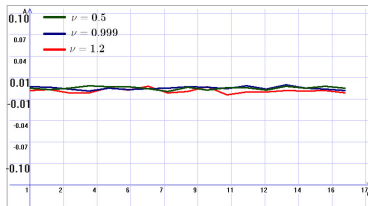
(с) линейная задача



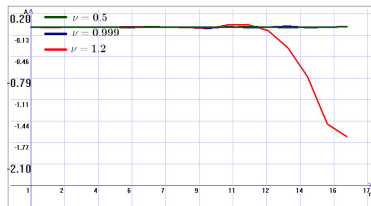
(д) нелинейная задача

Графики асимметрии и эксцесса.

Асимметрия, $n = 17$, $N = 10000$:

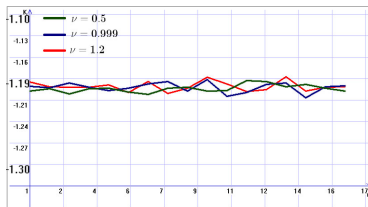


(е) линейная задача

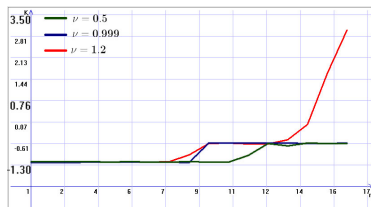


(ф) нелинейная задача

Эксцесс, $n = 17$, $N = 10000$:



(г) линейная задача

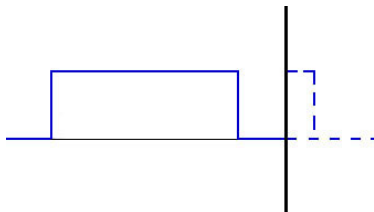


(h) нелинейная задача

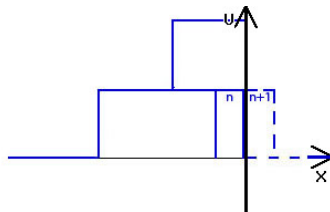
Решение граничной задачи

Упругое отражение акустической волны. На границе происходит скачок и, следовательно, разрыв решения.

- Граница окружается контуром, который сжимается до одной ячейки, находящейся за рабочей областью, т.е. в границе. Появляется фиктивная ячейка.
- На фиктивную ячейку накладываются конкретные условия, соответствующие физической картине процесса (значение скорости возмущения u меняет знак, давление p сохраняется, меняется направление характеристики).
- После отражения волны производится расчёт по двухшаговой схеме Лакса-Вендроффа с измененными параметрами.



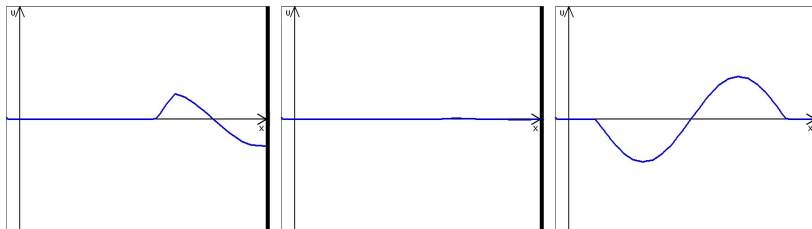
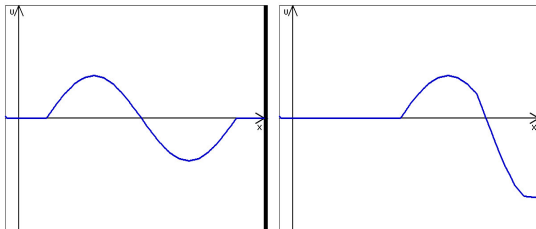
(i) До и после падения



(j) В процессе взаимодействия

Результаты построения отраженной волны

В качестве демонстрации работы метода приведён пример упругого отражения акустической волны, начальными данными для которой выбран период синусоиды:



Результаты работы:

- Проведён статистический анализ ошибок при решении систем линейных и квазилинейных уравнений на примере решения уравнений акустики.
- Исследовано поведение статистических характеристик решения в зависимости от возмущения начальных условий по заданному вероятностному закону.
- Решена граничная задача для уравнений акустики в случае упругого отражения акустических волн различной формы.
- Разработаны алгоритмы и программы для получения вышеперечисленных результатов, которые позволяют просматривать решения в различных режимах, легко менять форму начального возмущения и проводить статистический анализ решения.

Спасибо за внимание!